

# Anorganische Strukturen und Reaktionsmechanismen

CHE.367

**Christoph Marschner**

Institut für Anorganische Chemie  
Technische Universität Graz

## Übersicht

---

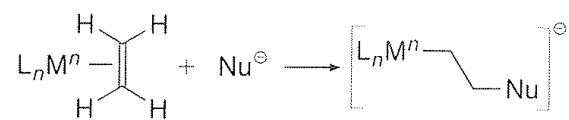
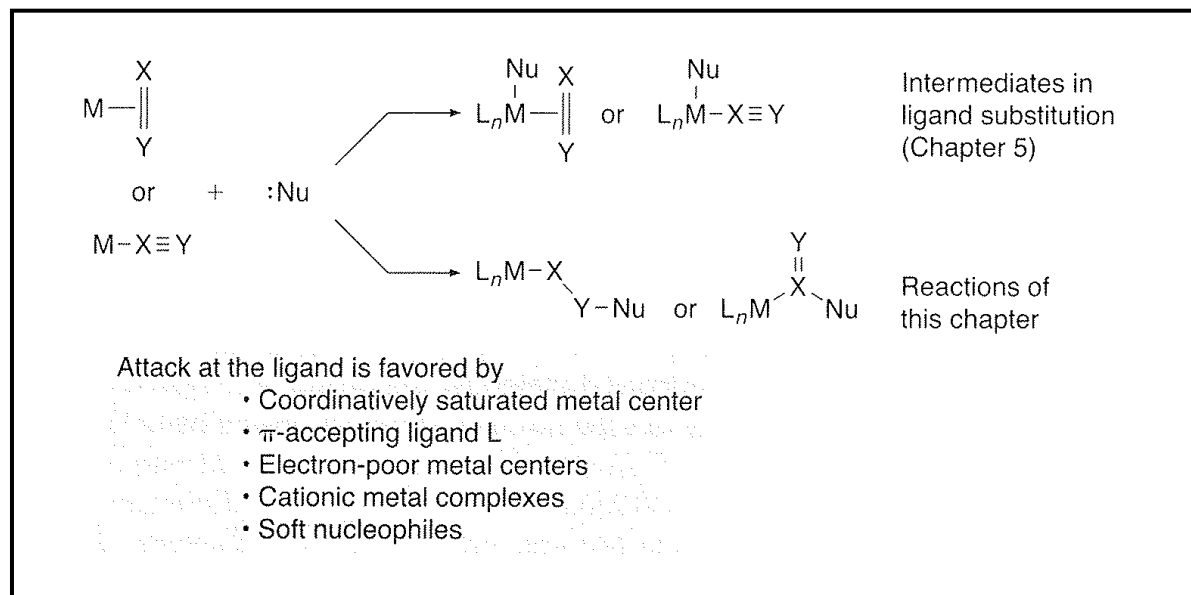
- Nucleophiler Angriff auf auf koordinierte Liganden
  - Angriff auf CO
  - Angriff auf Carbene
  - Angriff auf Alkyle
  - Angriff auf  $\eta^2$ -ungesättigte
  - Angriff auf Polyhaptoliganden
- Electrophiler Angriff auf auf koordinierte Liganden
  - Angriff auf Alkyle und Hydride
  - Electrophile Modifikation von Liganden

## Übersicht

---

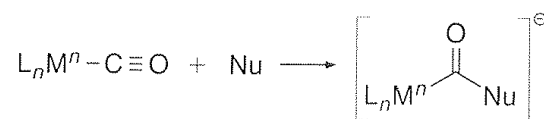
- Metall-Ligand Mehrfachbindungen
  - Carben-Komplexe
    - Bindung
    - Synthese
    - Reaktivität
  - Silylenkomplexe
  - Metall-Heteroatom Mehrfachbindungen

# Nucleophiler Angriff

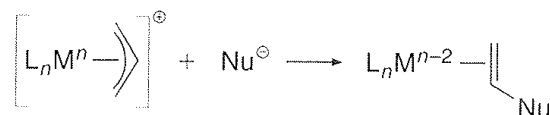


Changes in  
oxidation state

No change

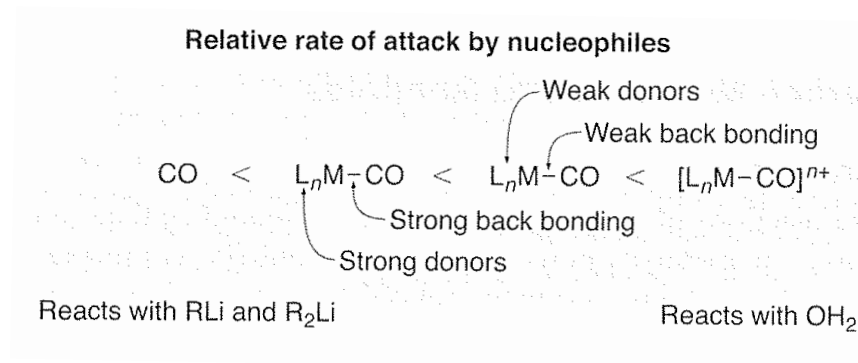
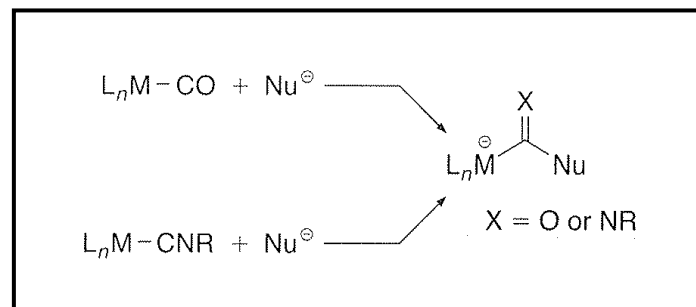


No change



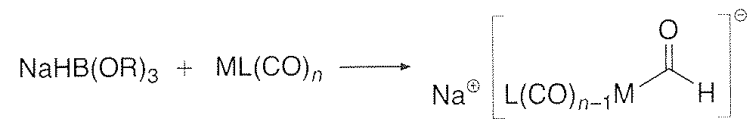
Reduction  
by two

# Nucleophiler Angriff auf CO und Isonitril

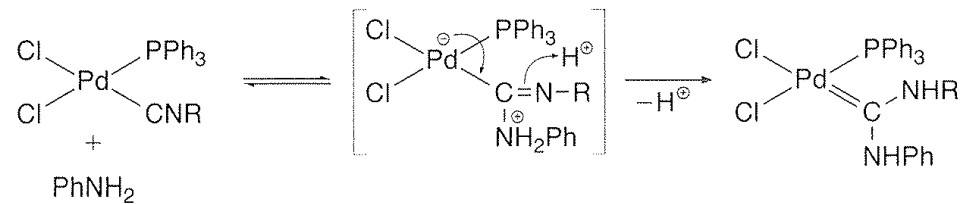
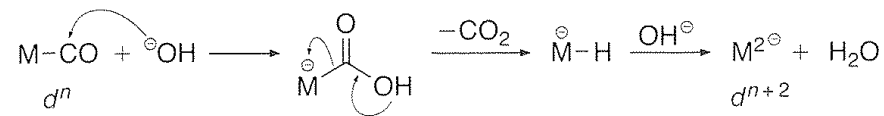
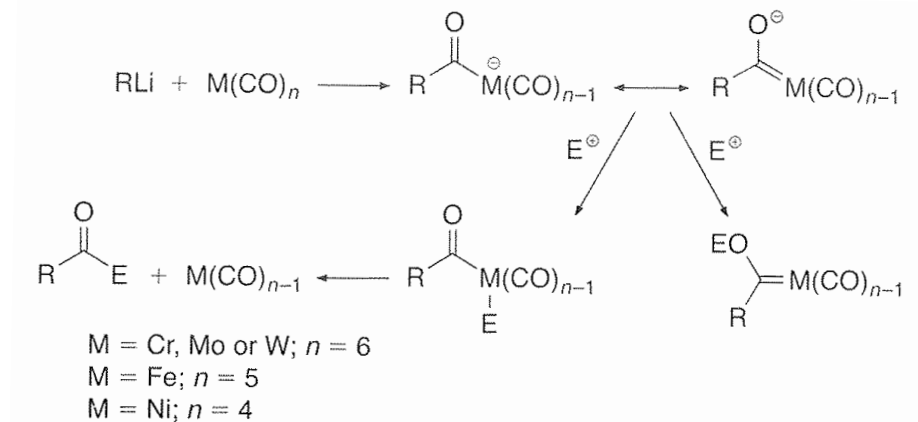


Effect of coordination, ancillary ligands, and charge on the rate of nucleophilic attack on CO.

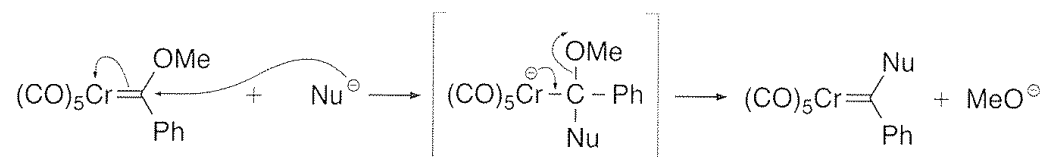
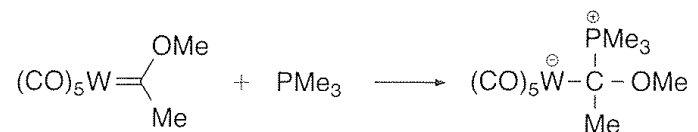
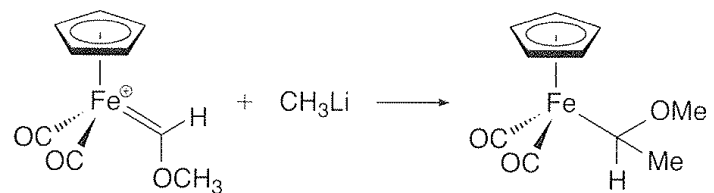
# Nucleophiler Angriff auf CO und Isonitril



L = CO or PPh<sub>3</sub>; M = Cr, W or Fe; n = 4–6

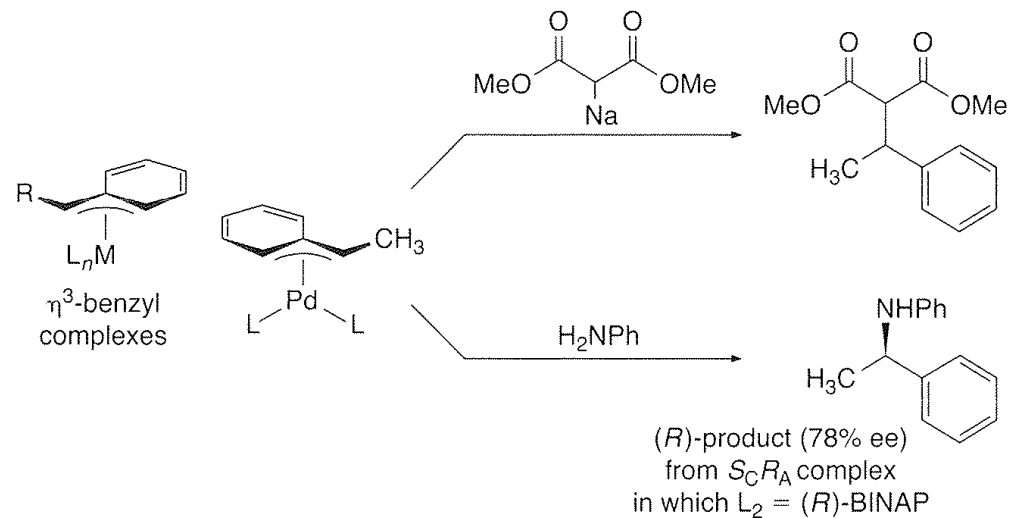
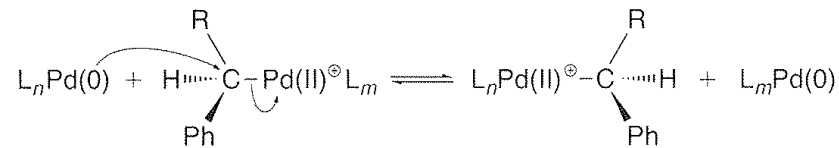
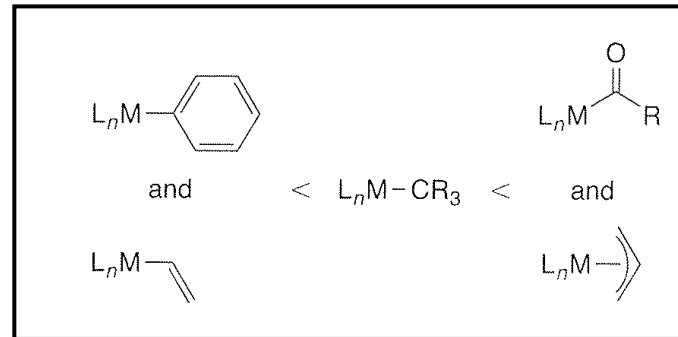


# Nucleophiler Angriff auf Carbene



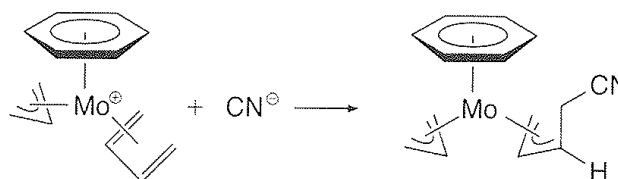
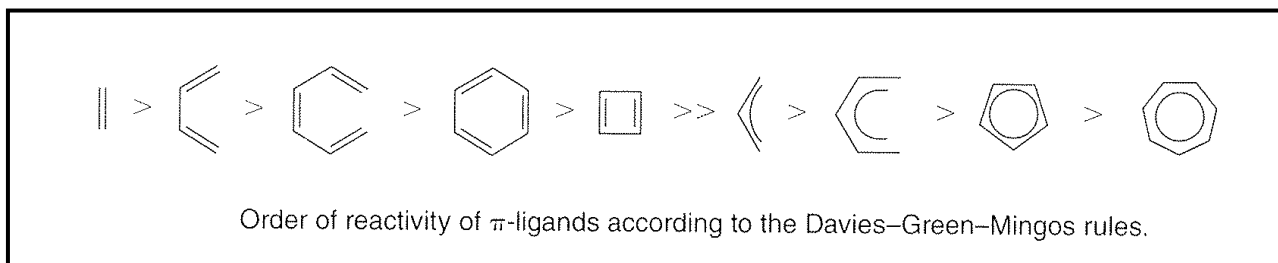
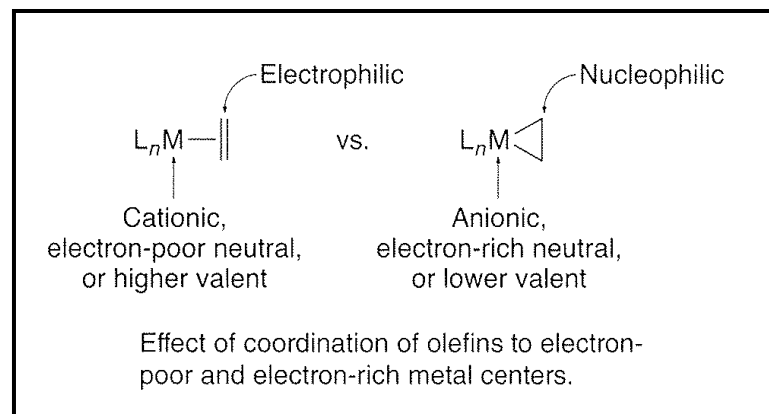
Nu =  $\text{RS}^{\ominus}$ ,  $\text{R}_2\text{NH}$ , or  $\text{PhLi}$

# Nucleophiler Angriff auf $\sigma$ -gebundene Liganden

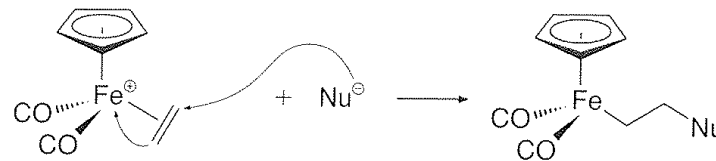
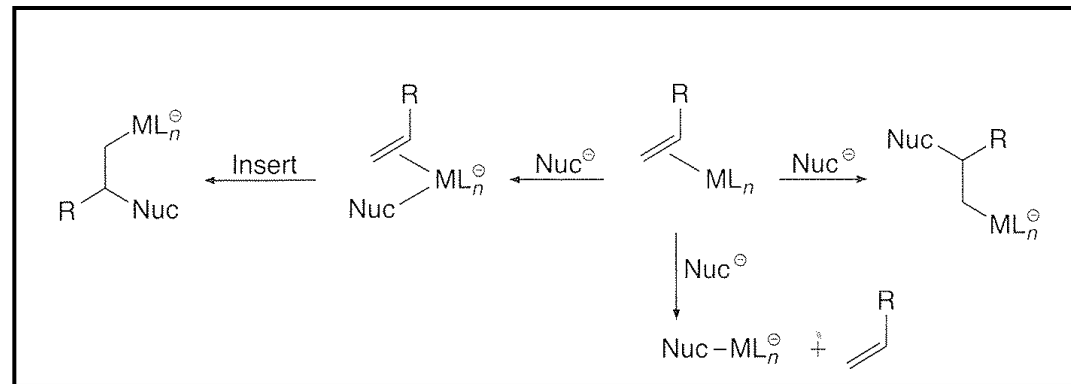




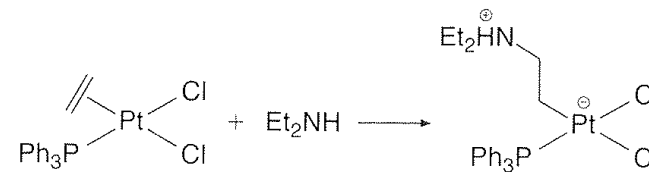
# Nucleophiler Angriff auf $\eta^2$ -ungesättigte Liganden



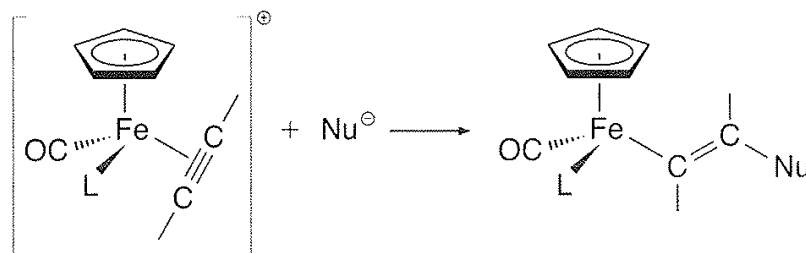
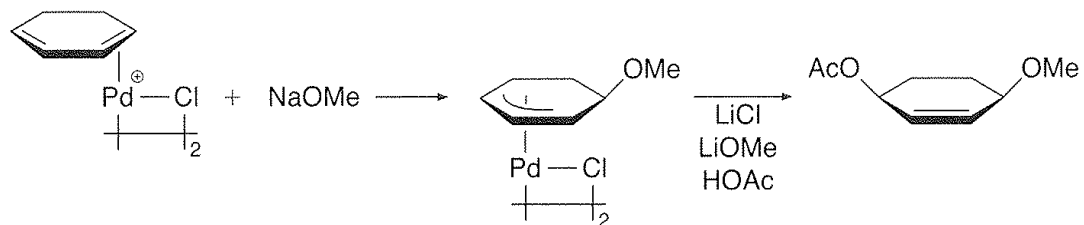
# Nucleophiler Angriff auf $\eta^2$ -ungesättigte Liganden



$\text{Nu}^\ominus$  or Nu =  $\text{MeO}^\ominus$ ,  $^t\text{BuS}^\ominus$ ,  $\text{Ph}_3\text{P}$ ,  $(\text{EtO})_3\text{P}$ ,  $\text{R}_2\text{NH}$ ,  $^\ominus\text{CH}_2\text{NO}_2$ ,  $^\ominus\text{CH}(\text{COMe})(\text{CO}_2\text{Me})$ ,  
 $^\ominus\text{CH}(\text{CO}_2\text{Me})_2$ ,  $^\ominus\text{CH}(\text{CN})(\text{CO}_2\text{Me})$ ,  $\text{R}_2\text{N}-\text{CH}=\text{C}$  and  $\text{LiCuMe}_2$

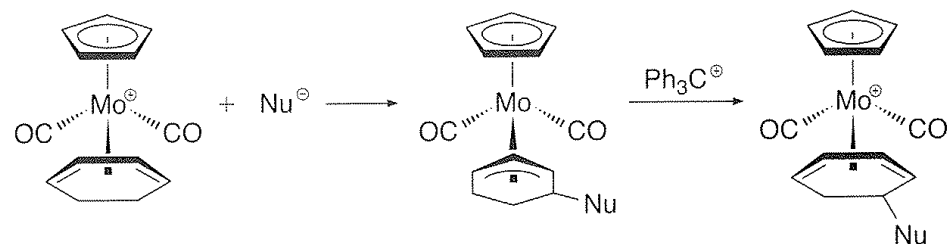
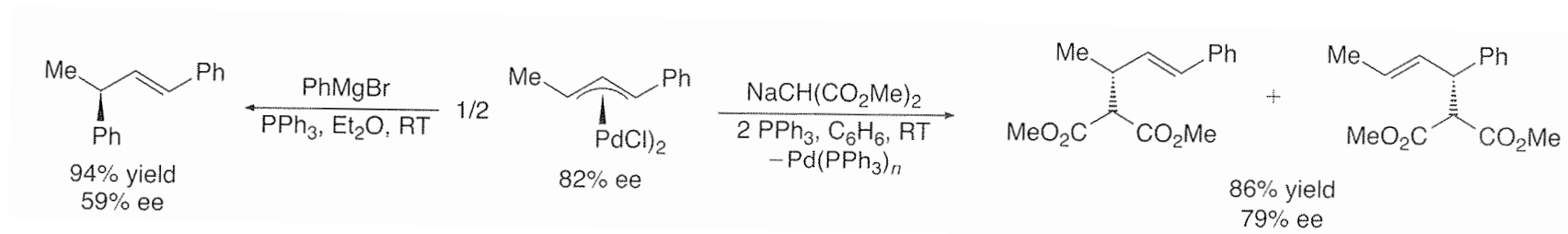
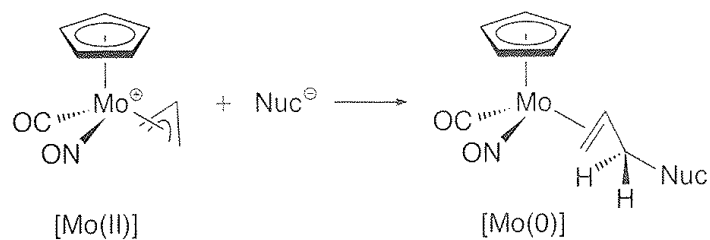


# Nucleophiler Angriff auf $\eta^2$ -ungesättigte Liganden

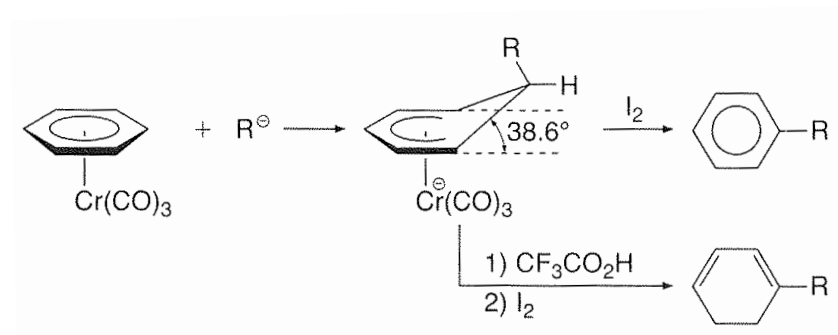
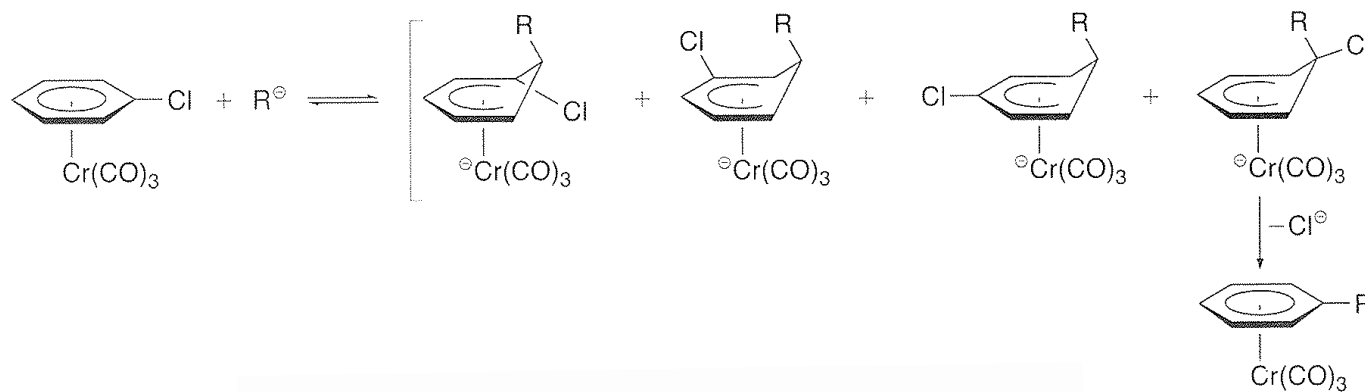
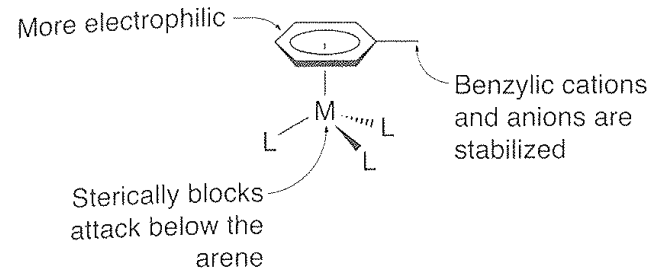


$\text{Nu}^\ominus = \text{PhS}^\ominus, \text{CN}^\ominus, \text{CH}^\ominus(\text{CO}_2\text{Et})_2, \text{Ph}^\ominus, \text{Me}^\ominus, \text{H}_2\text{C}=\text{CH}^\ominus$ , or  
 $\text{MeC}\equiv\text{C}^\ominus$  from  $\text{R}_2\text{Cu}(\text{CN})\text{Li}_2$   
 $\text{L} = \text{PPh}_3$  or  $\text{P(OPh)}_3$

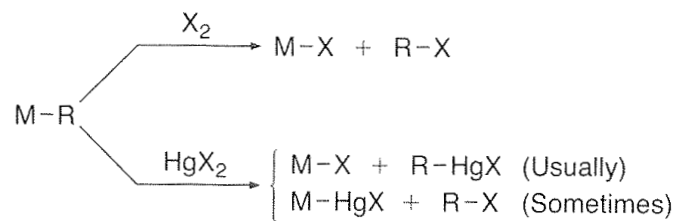
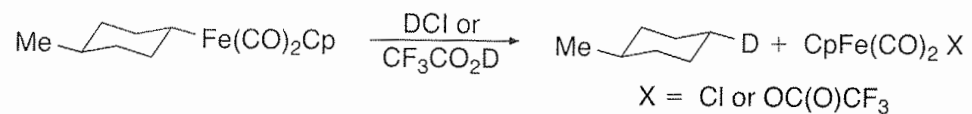
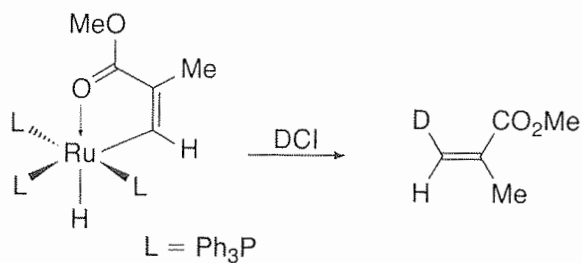
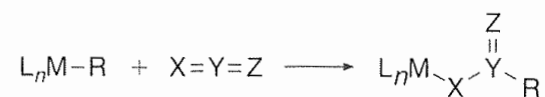
# Nucleophiler Angriff auf Polyhaptoliganden



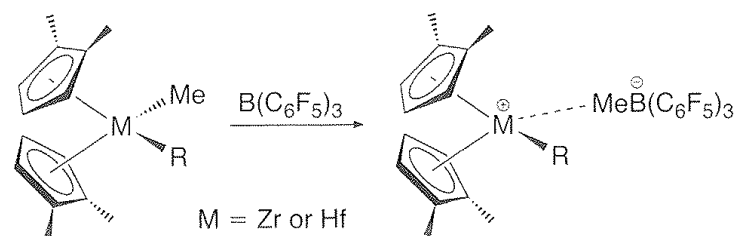
# Nucleophiler Angriff auf Arenliganden



# Electrophiler Angriff



# Electrophiler Angriff

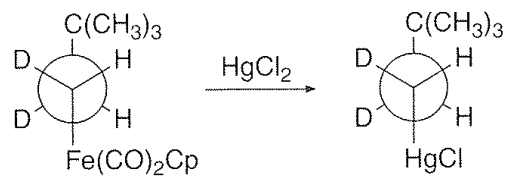
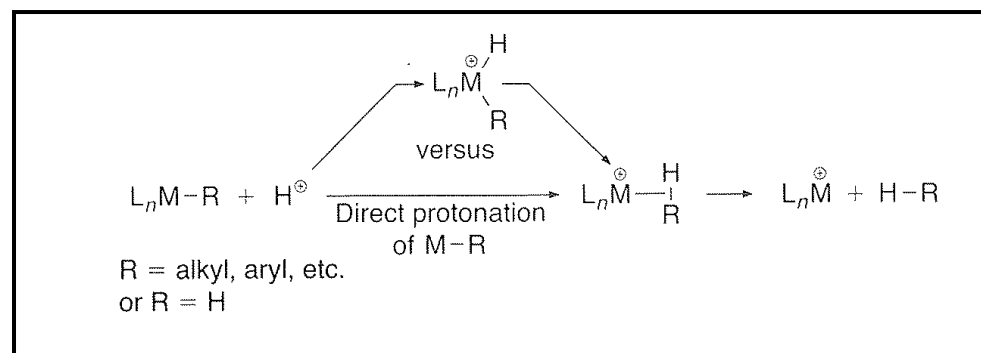


M	R	$\Delta H_{\text{form}}^a$ (kcal/mol)
Zr	Me	-24.6(0.8) <sup>b</sup>
Zr	CH <sub>2</sub> TMS	-22.6(1.0)
Zr	CH(TMS) <sub>2</sub>	-59.2(1.4)
Hf	Me	-20.8(0.5) <sup>b</sup>
Hf	CH <sub>2</sub> TMS	-31.1(1.6)

<sup>a</sup>Values are determined by titration calorimetry.

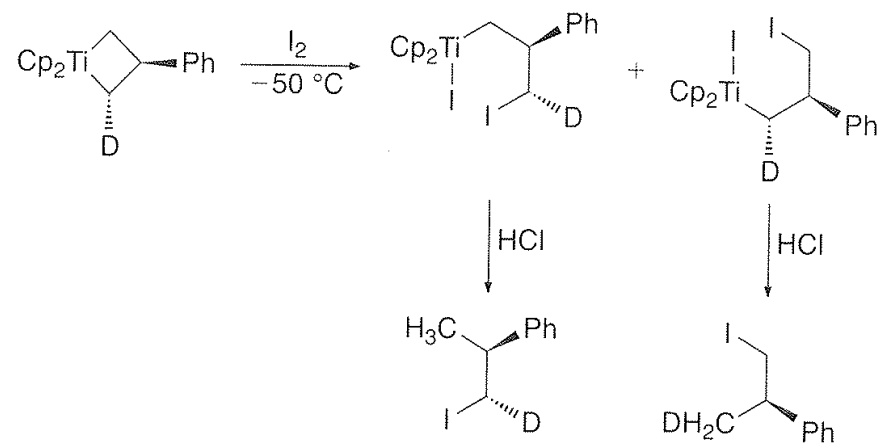
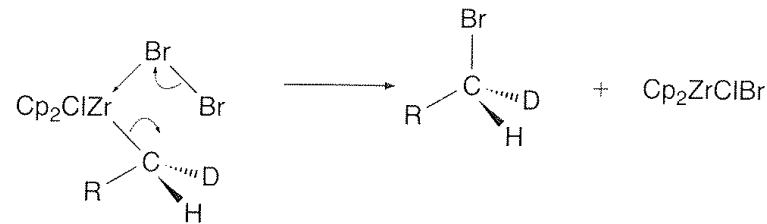
<sup>b</sup>From Deck, P. A.; Beswick, C. L.; Marks, T. J. *J. Am. Chem. Soc.* **1998**, *120*, 1772.

# Electrophiler Angriff: Protonierung

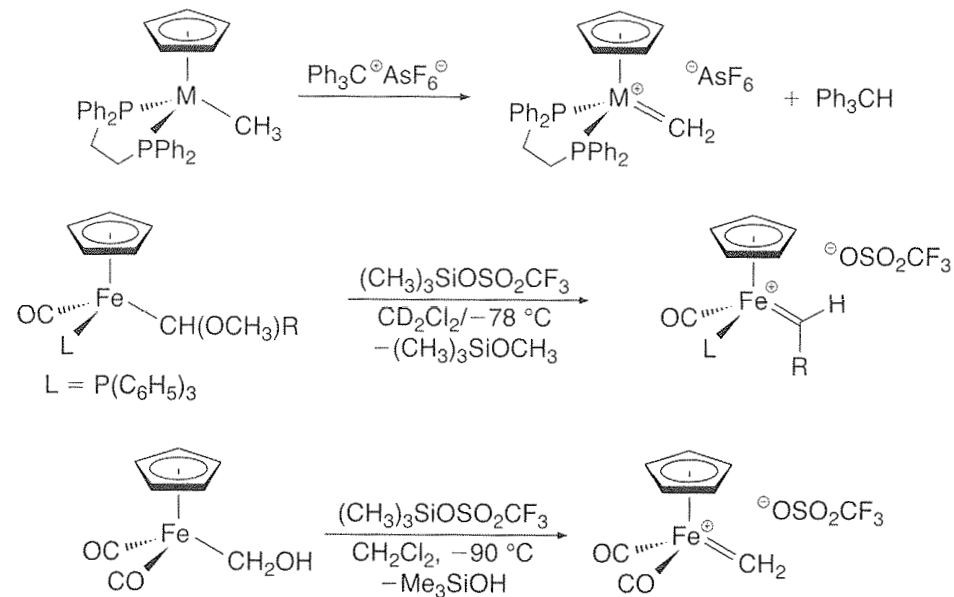
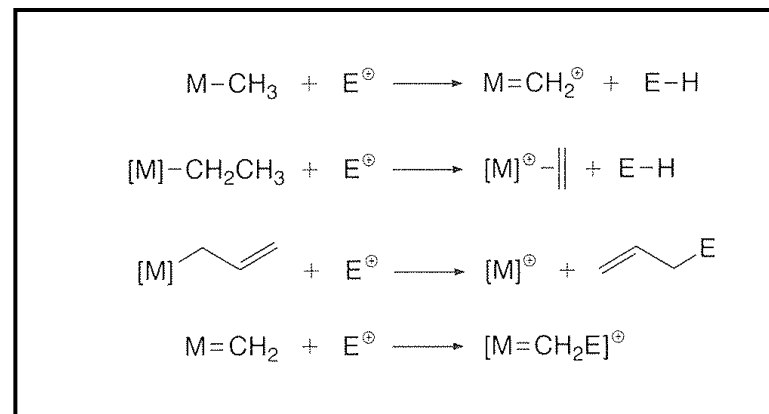




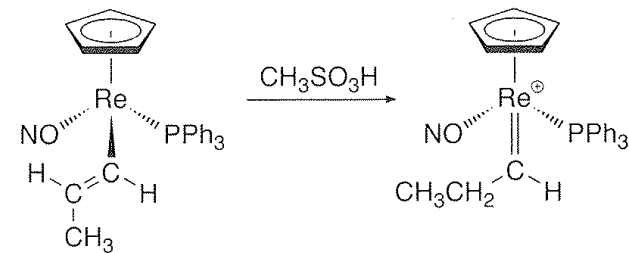
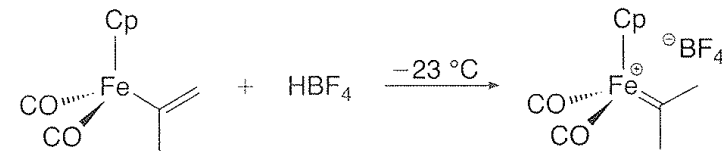
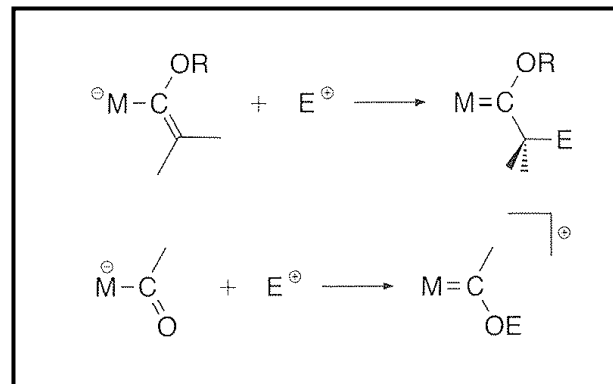
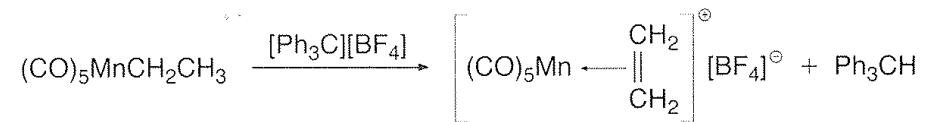
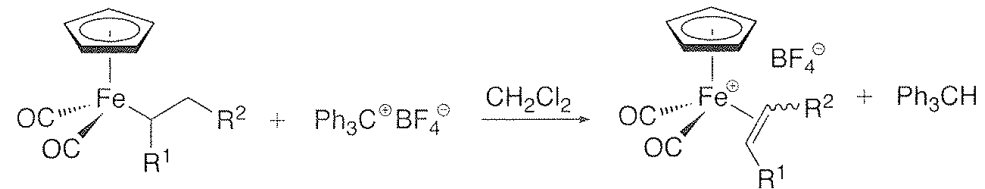
# Electrophiler Angriff: ohne d-Elektronen



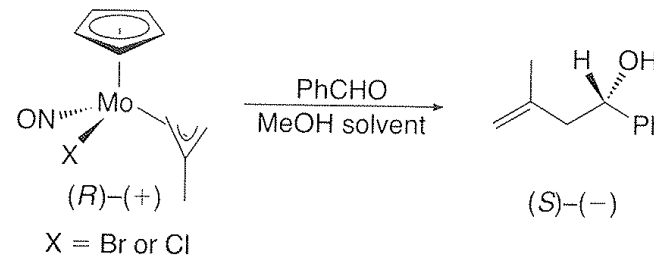
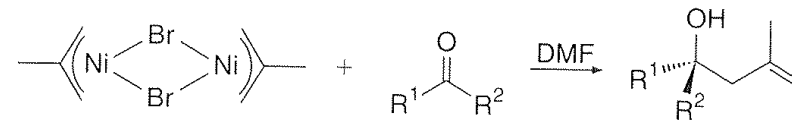
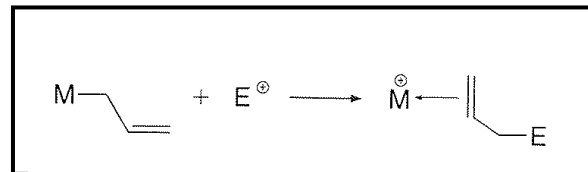
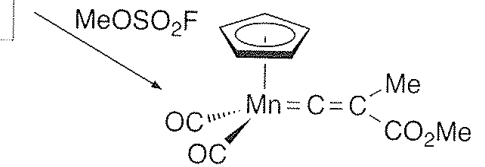
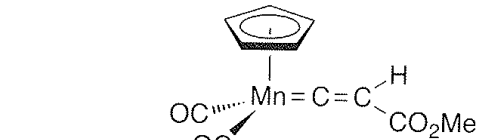
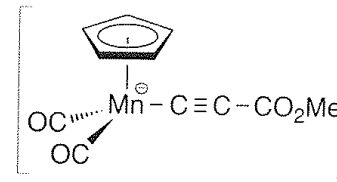
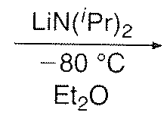
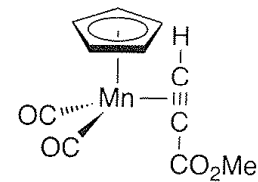
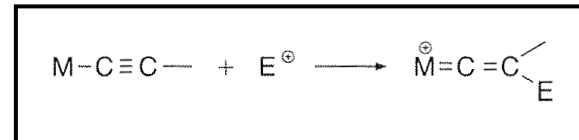
# Electrophile Modifikation von Liganden



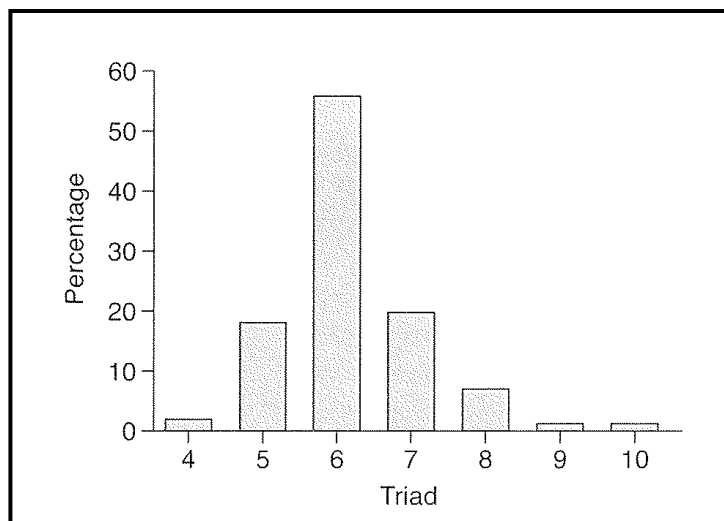
# Electrophile Modifikation von Liganden



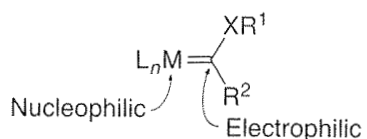
# Electrophile Modifikation von Liganden



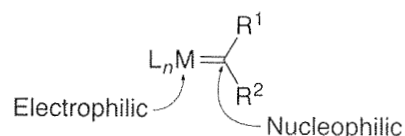
# Metall-Ligand Mehrfachbindungen



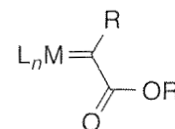
Occurrence of complexes with metal–ligand multiple bonds by triad. Data from the Cambridge Structural Database in 2000. Adapted with permission from Cundari, T. R. *Chem. Rev.* **2000**, *100*, 807.



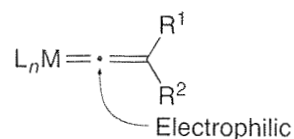
Fischer carbene complexes:  
 $X = O, NR, S$   
 $M =$  low-valent, middle or late transitional metals



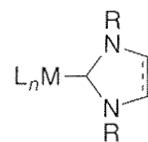
Schrock carbene or Alkylidene complexes:  
 $R^1, R^2 =$  alkyl or H  
 $M =$  high-valent carbonyl or middle transitional metals



Carbenoid complexes:  
 $L_n M = Rh_2(O_2CR)_4, N_4Ru, (N_2O_2)Ru,$  or  $(N, N)Cu$

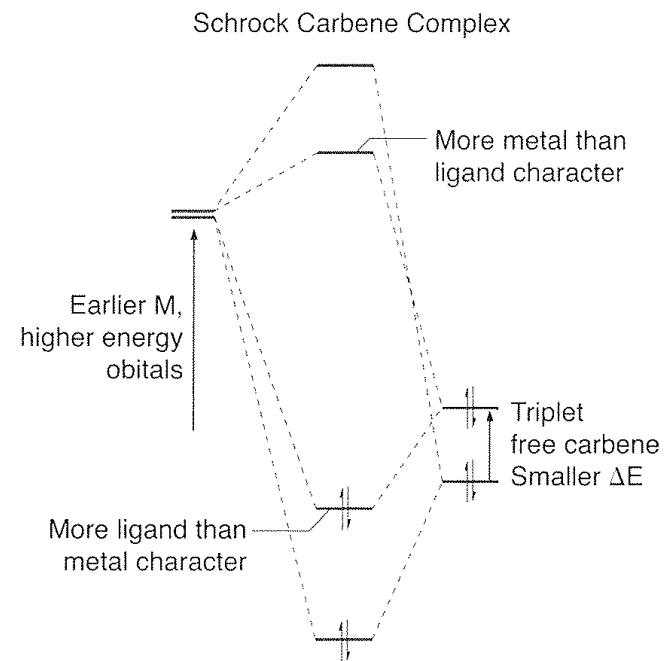
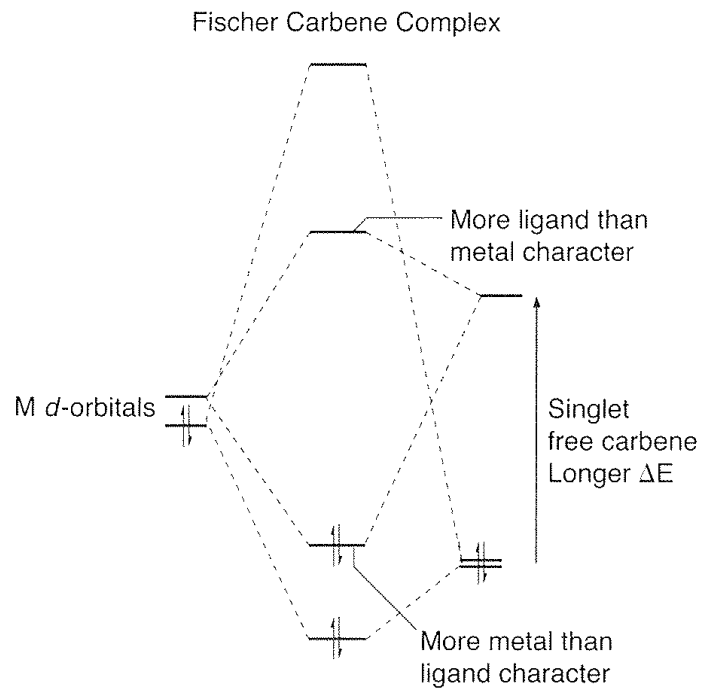


Vinylidene complexes:  
 $R^1, R^2 =$  H, alkyl or aryl

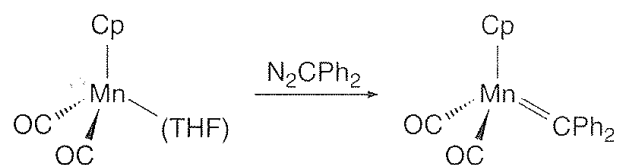
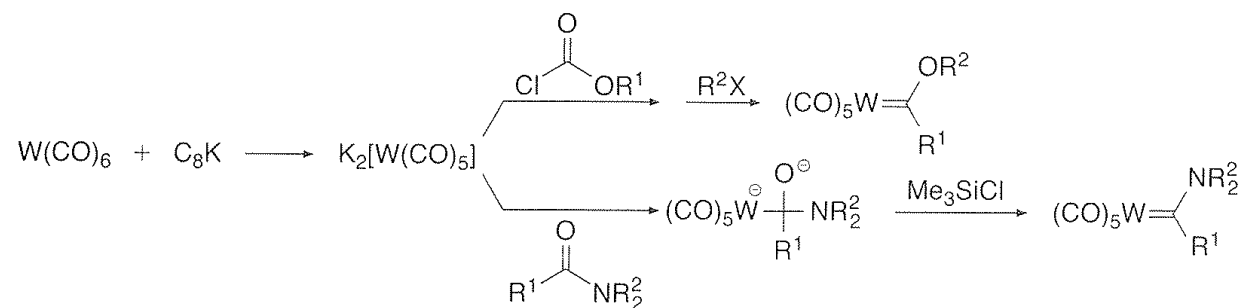


*N*-Heterocyclic carbene complexes:  
 $R =$  aryl or alkyl

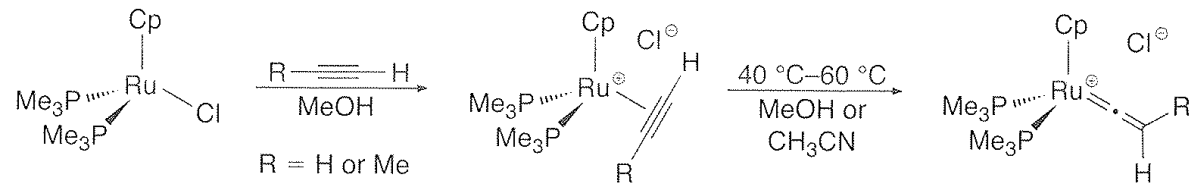
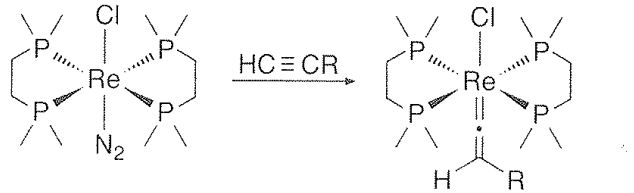
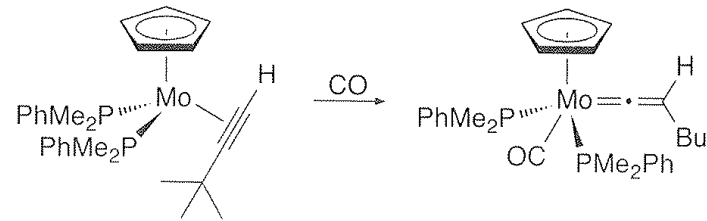
# Carben-Komplexe: Fischer vs Schrock



# Carben-Komplexe: Synthese Fischer

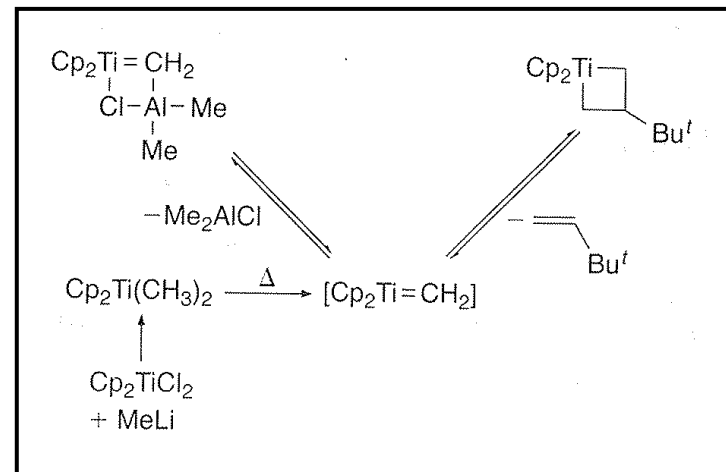
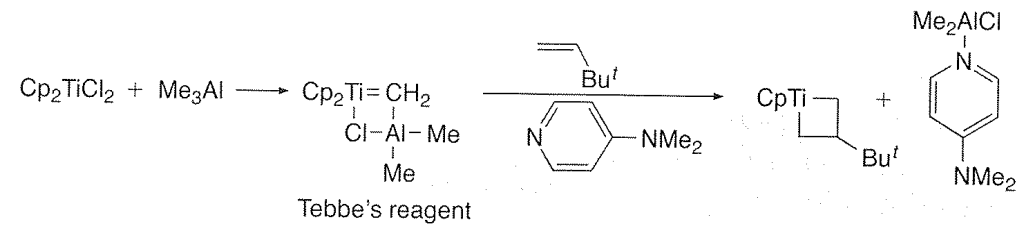
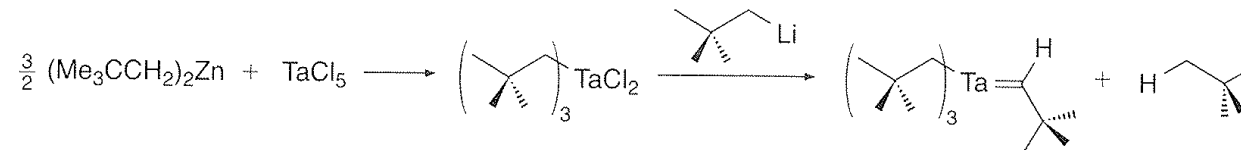


# Carben-Komplexe: Synthese Vinyliden

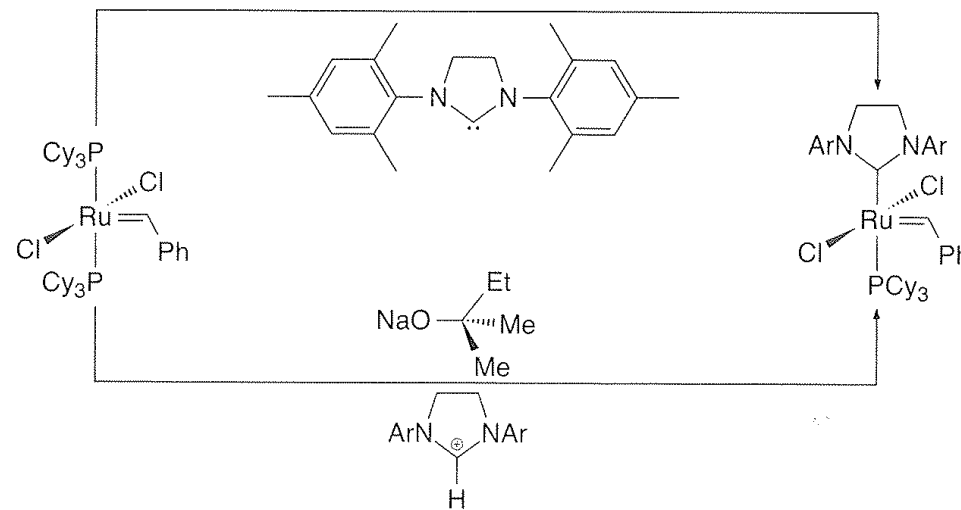
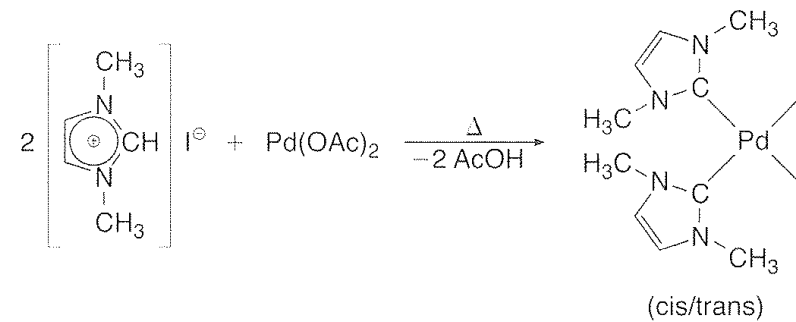




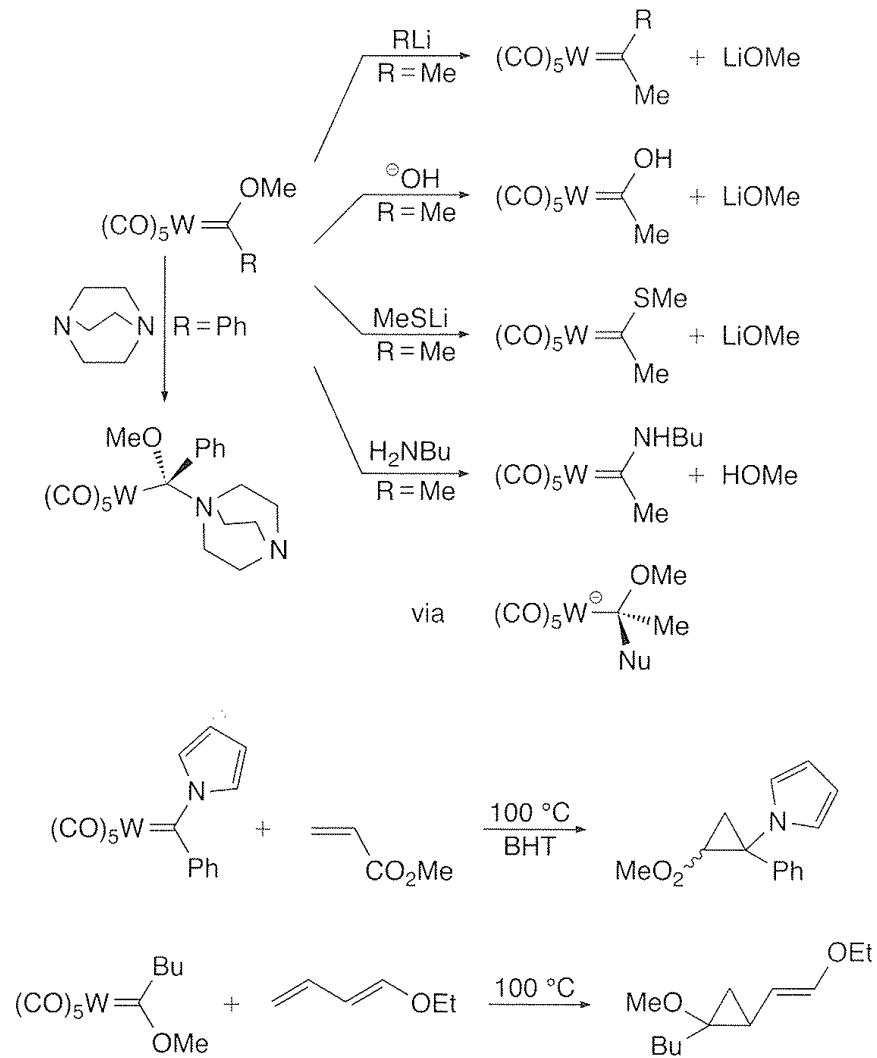
# Carben-Komplexe: Synthese Schrock



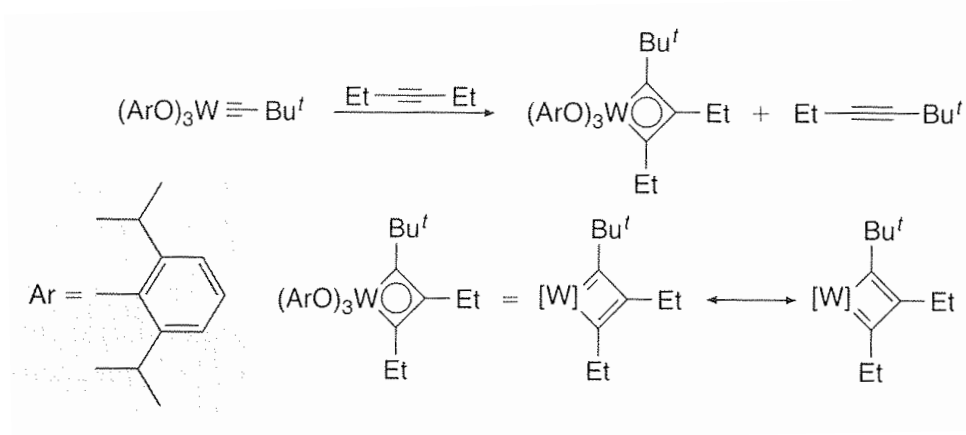
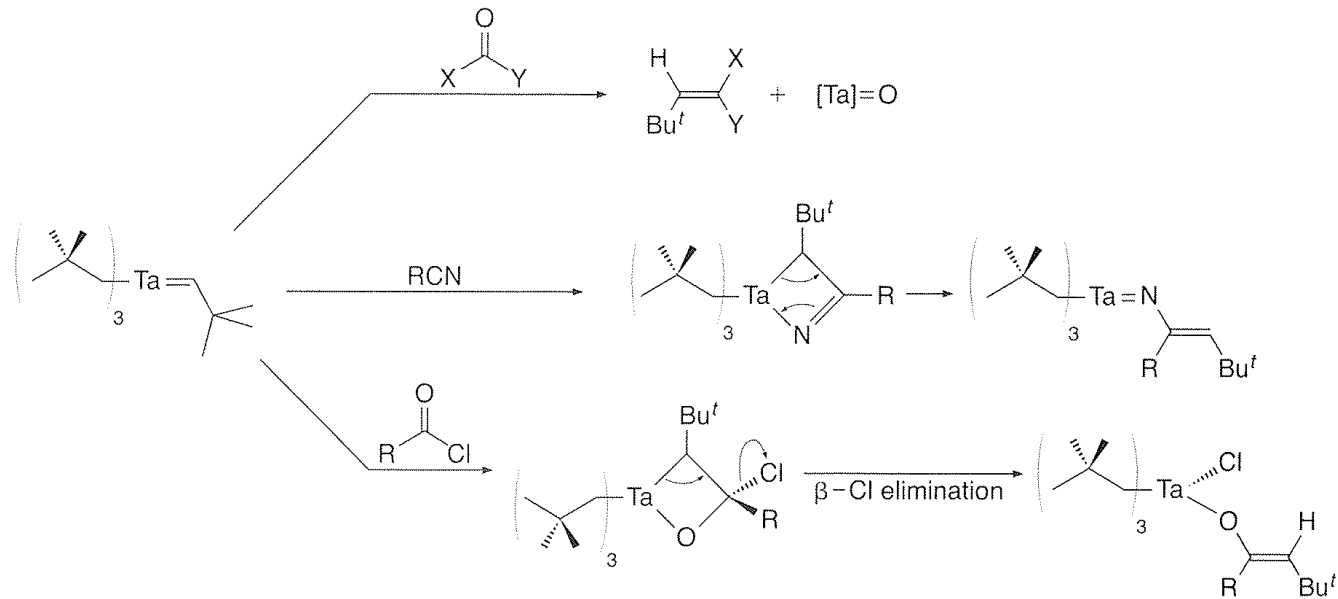
# Carben-Komplexe: Synthese NHC



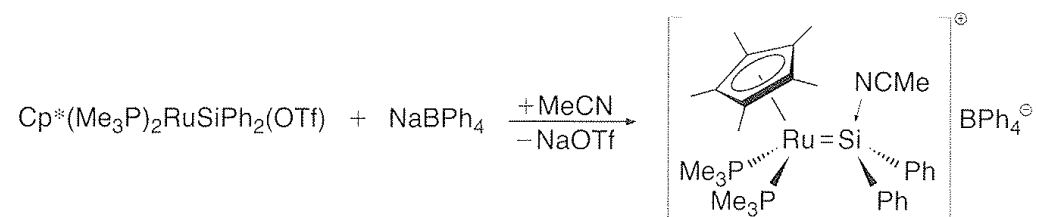
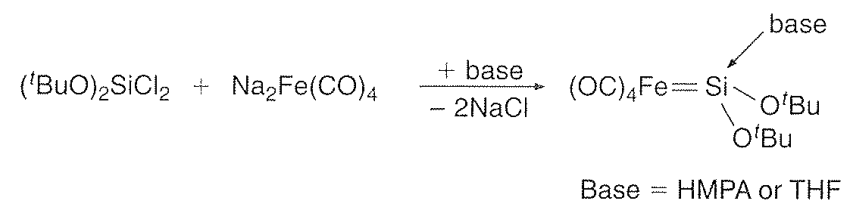
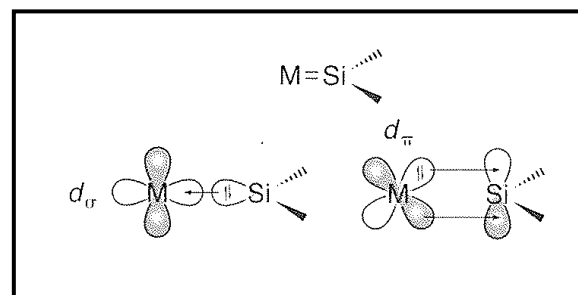
# Carben-Komplexe: Reaktivität Fischer



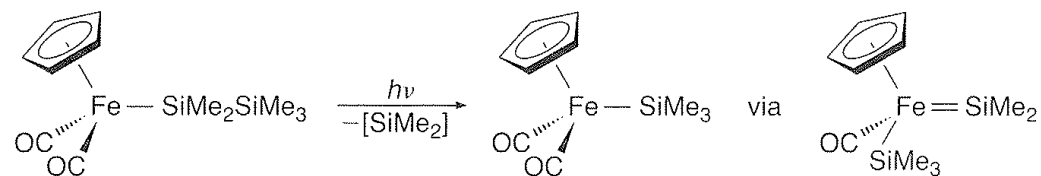
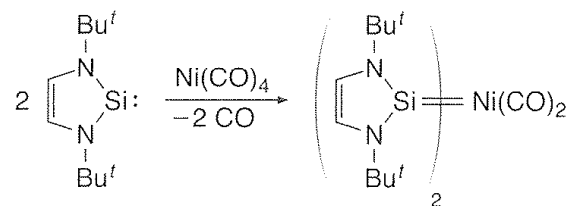
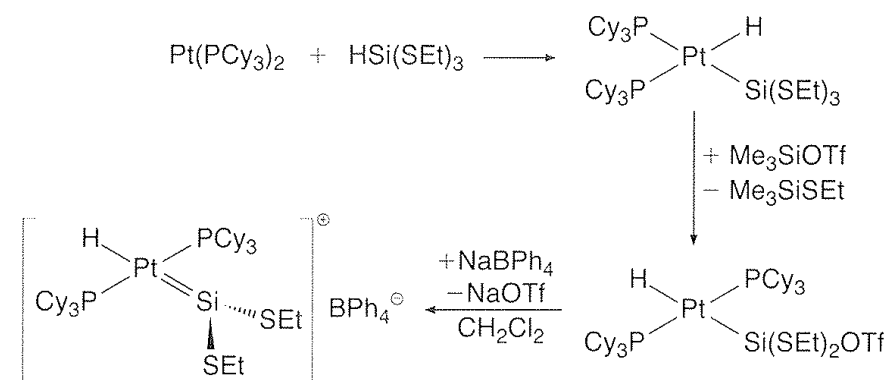
# Carben-Komplexe: Reaktivität Schrock



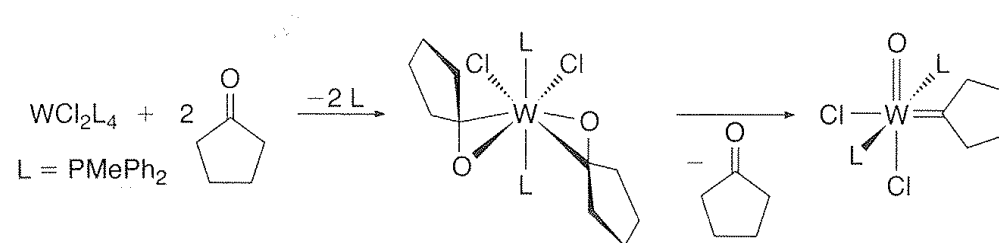
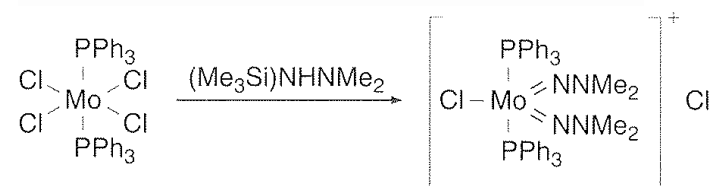
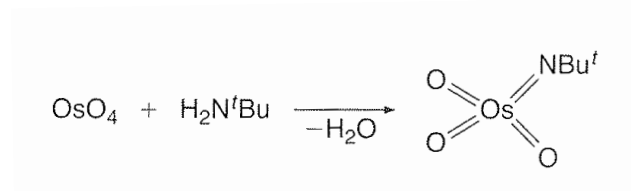
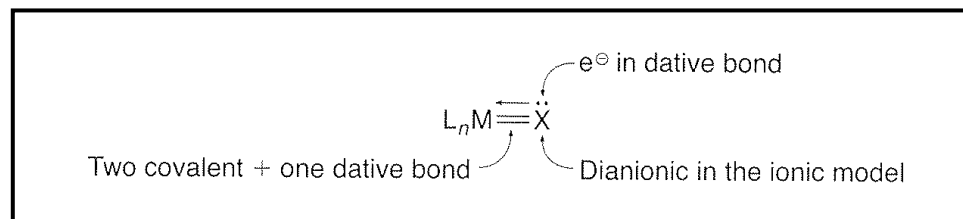
# Silylen-Komplexe



# Silylen-Komplexe



# Oxo und Imido-Komplexe



# Oxo und Imido-Komplexe: Reaktivität

